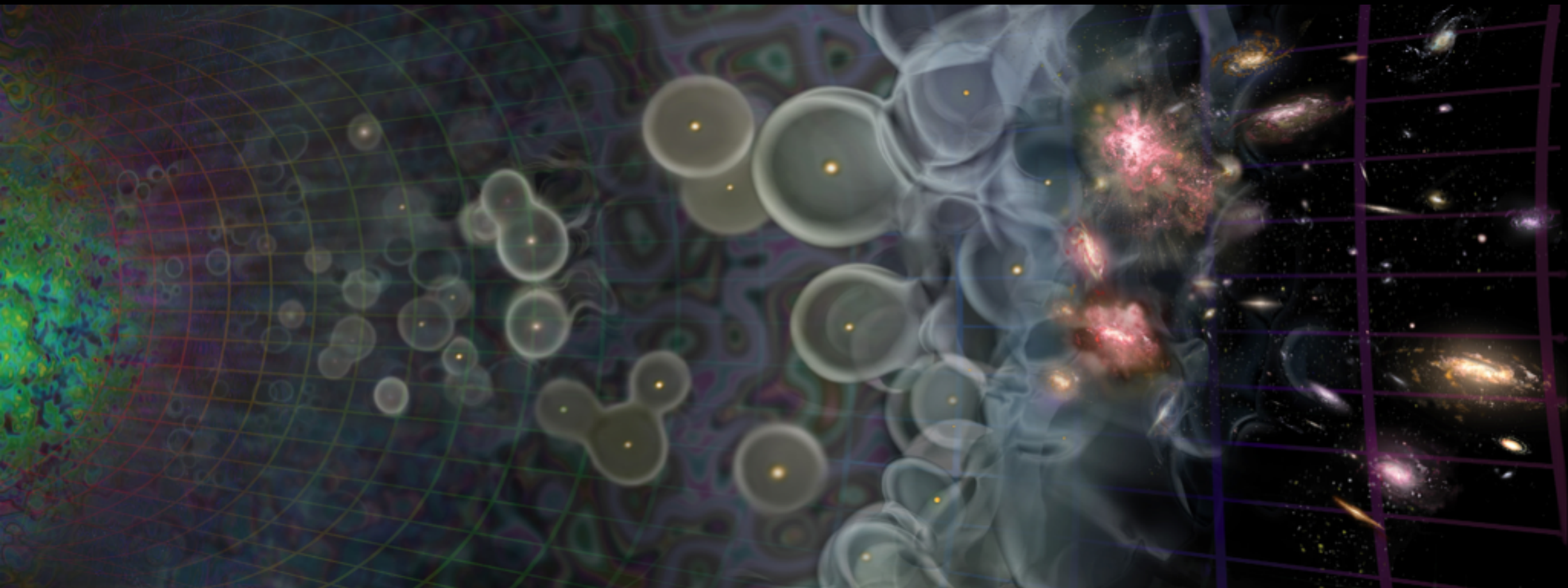


# Introdução à Cosmologia Física



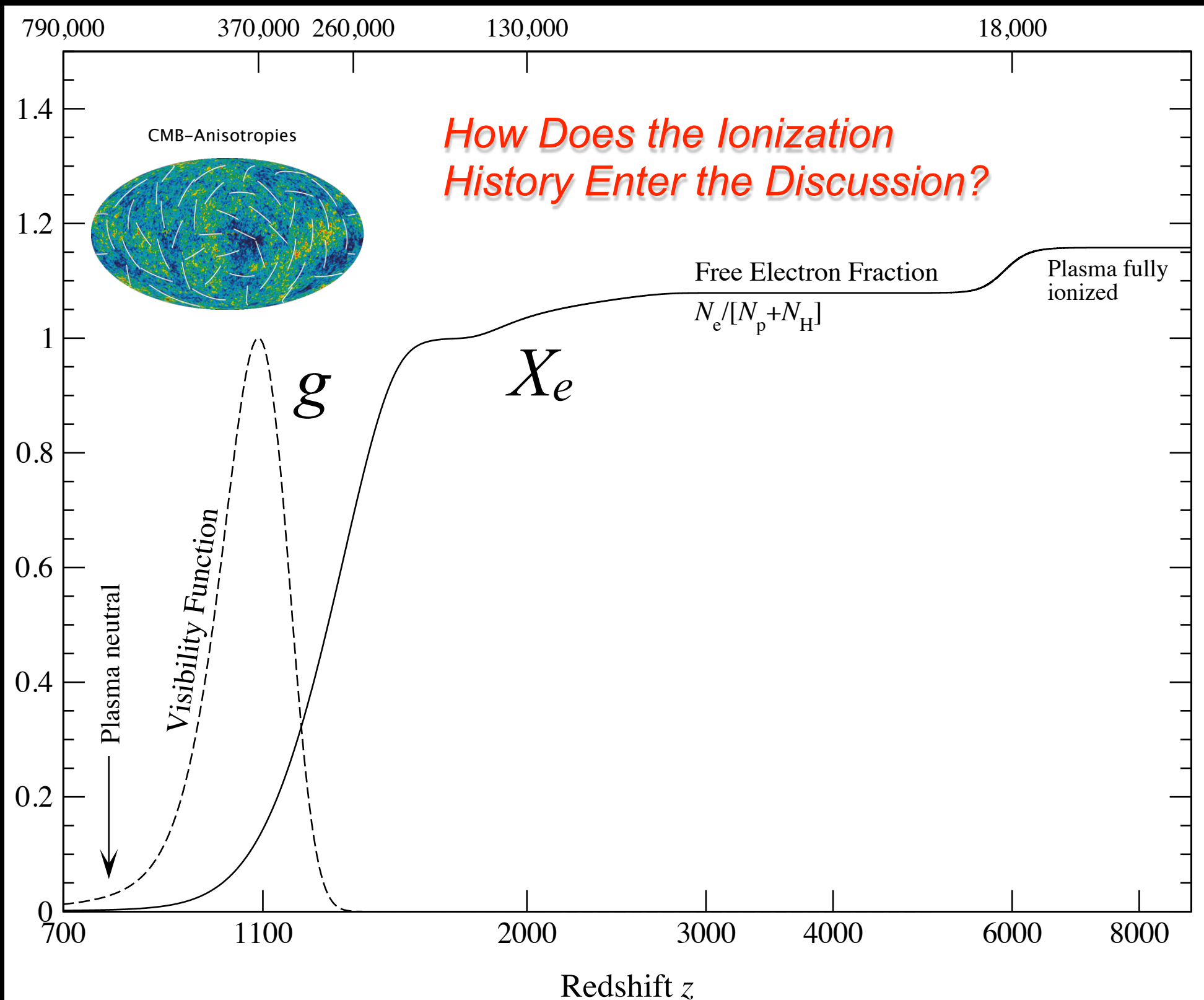
## Hoje:

- \* Anisotropias da Radiação Cósmica de Fundo (RCF)
- \* O dipolo da RCF
- \* Como a RCF impõe vínculos à **curvatura espacial**

→ Ryder, Cap. 10

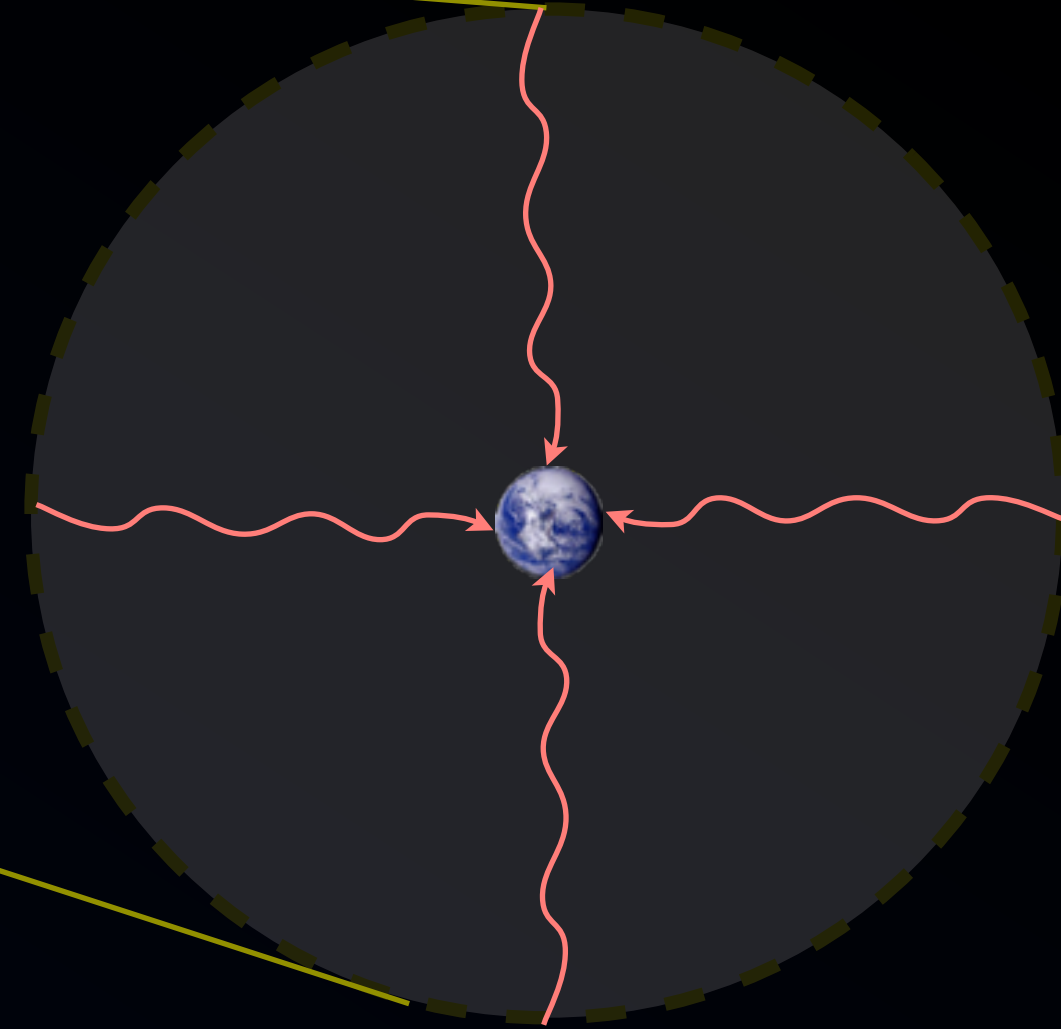
# Introdução à Cosmologia Física

**Função de visibilidade:**  $g(\eta) = \mu'(\eta)e^{-\mu(\eta)} = \sigma_T X_e(\eta)n_b(\eta)a(\eta) \times \exp \left[ \int_0^\eta d\eta' \sigma_T X_e(\eta')n_b(\eta')a(\eta') \right]$

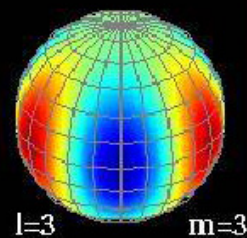
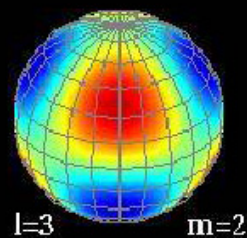
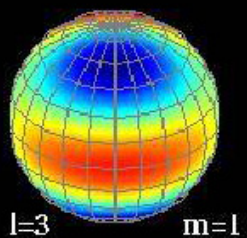
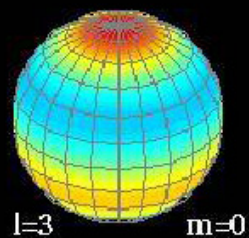
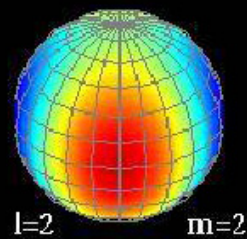
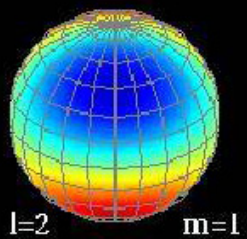
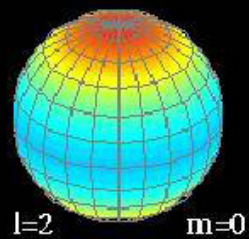
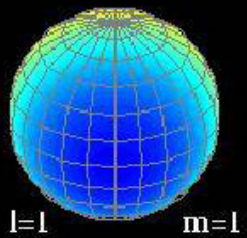
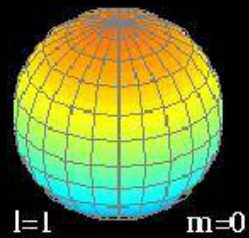
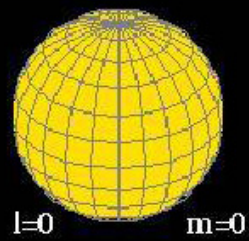




Radiação  
cósmica  
de fundo



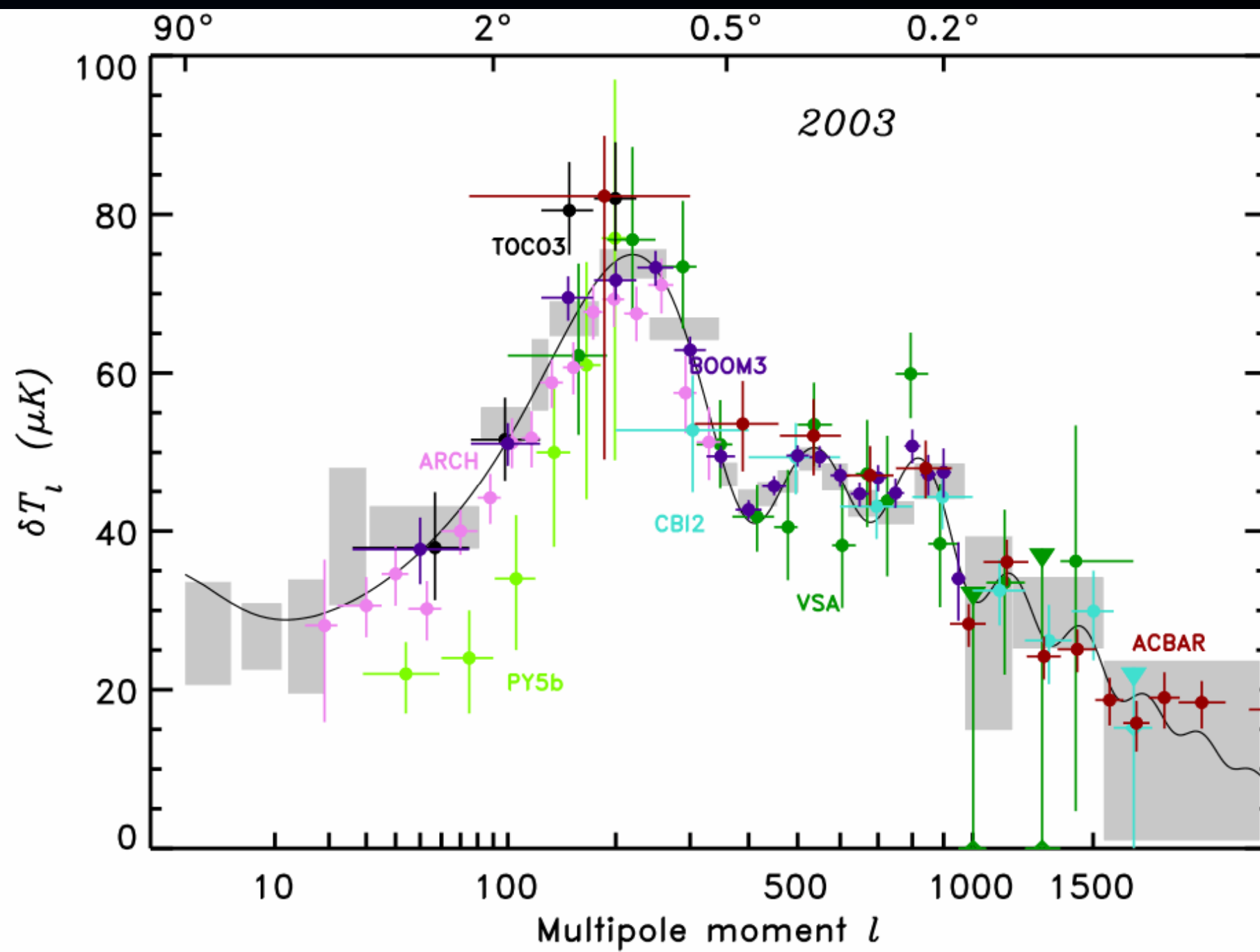
Espectro angular:  
decomposição em  
“multipolos”



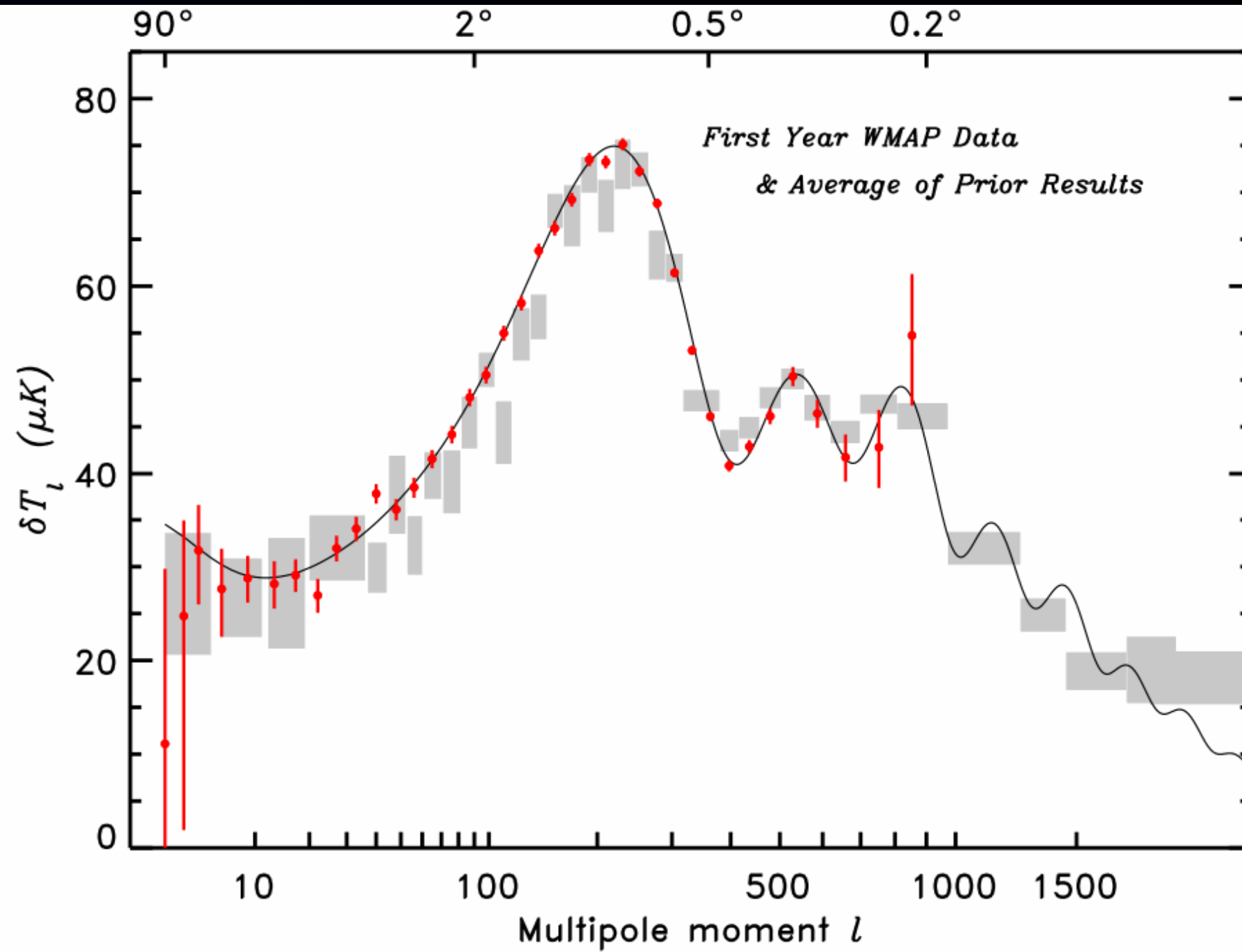
$$\delta T(\theta, \varphi) = \sum_{\ell, m} a_{\ell m} Y_{\ell}^m(\theta, \varphi)$$

$$C_{\ell} = \frac{1}{2\ell + 1} \sum_{m=-\ell}^{\ell} |a_{\ell m}|^2$$



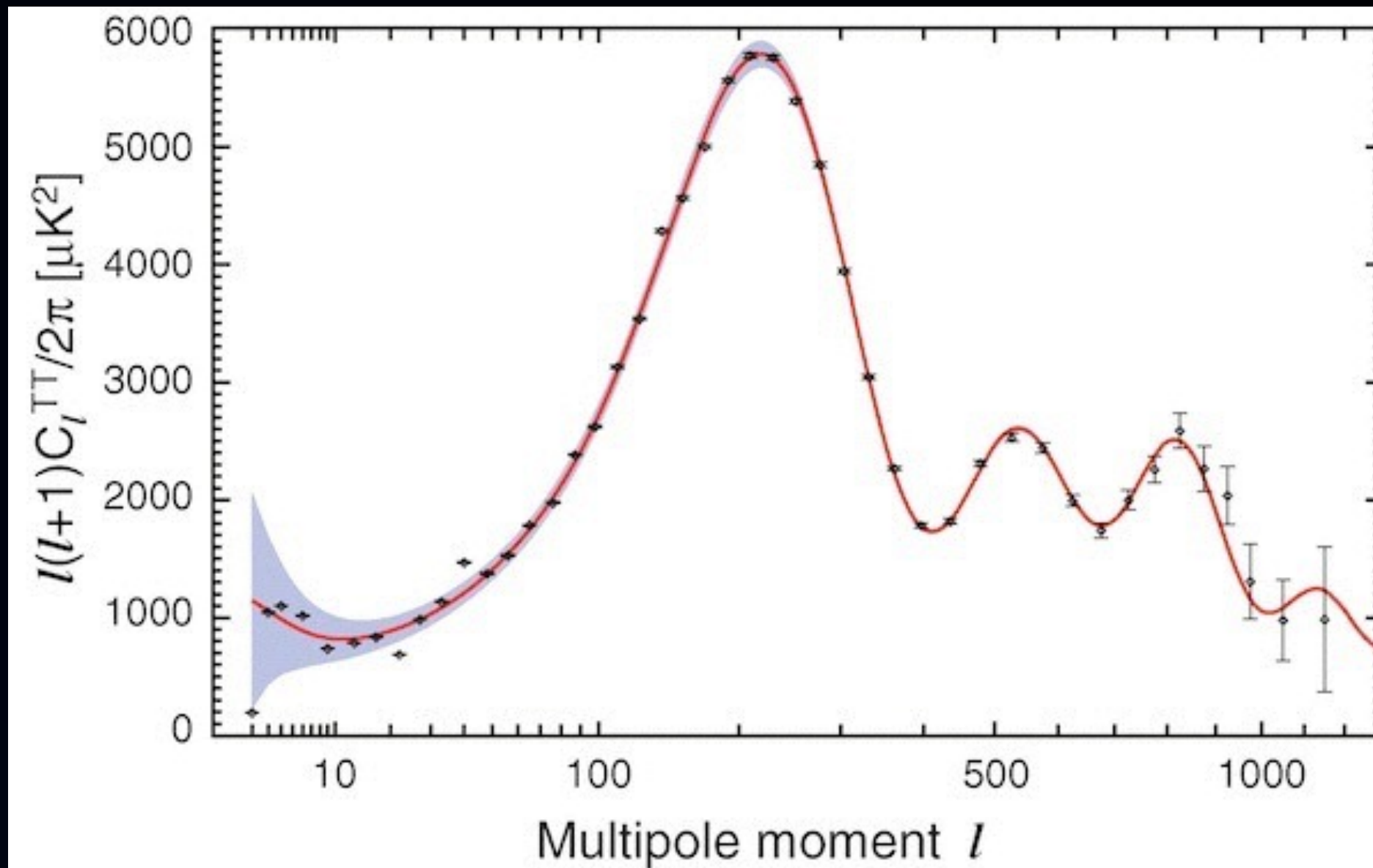


# WMAP @ 2003

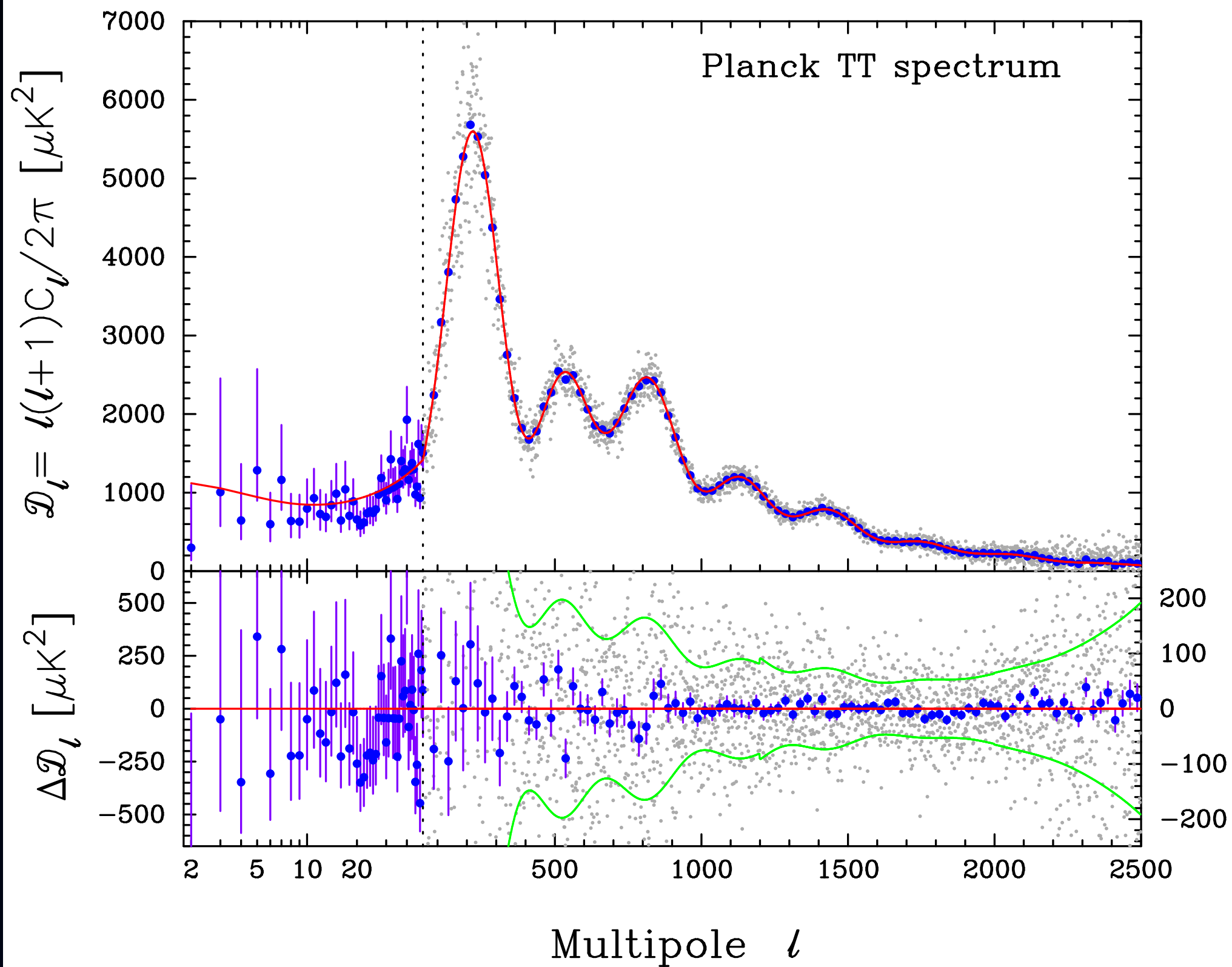




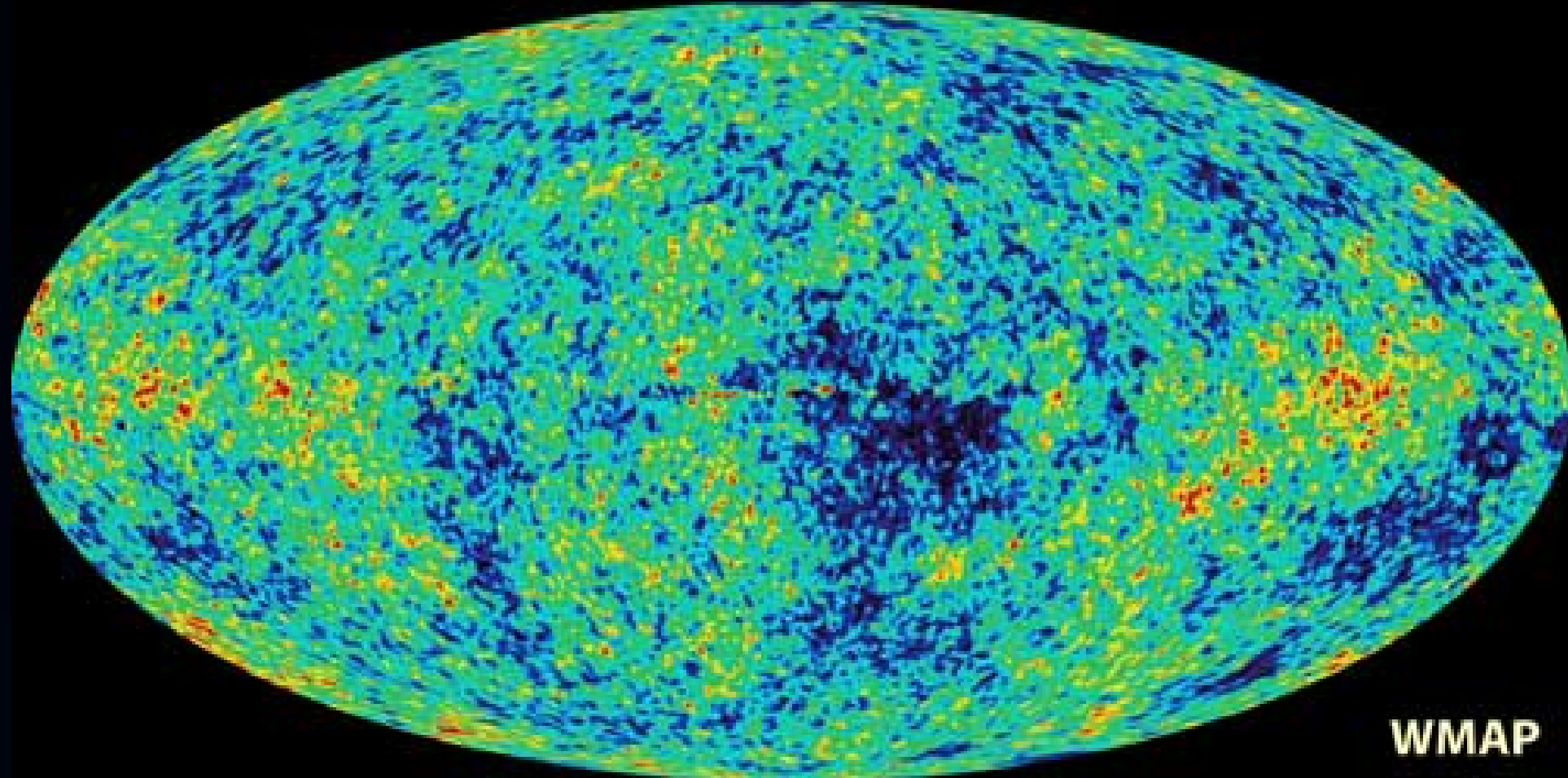
# WMAP @ 2009



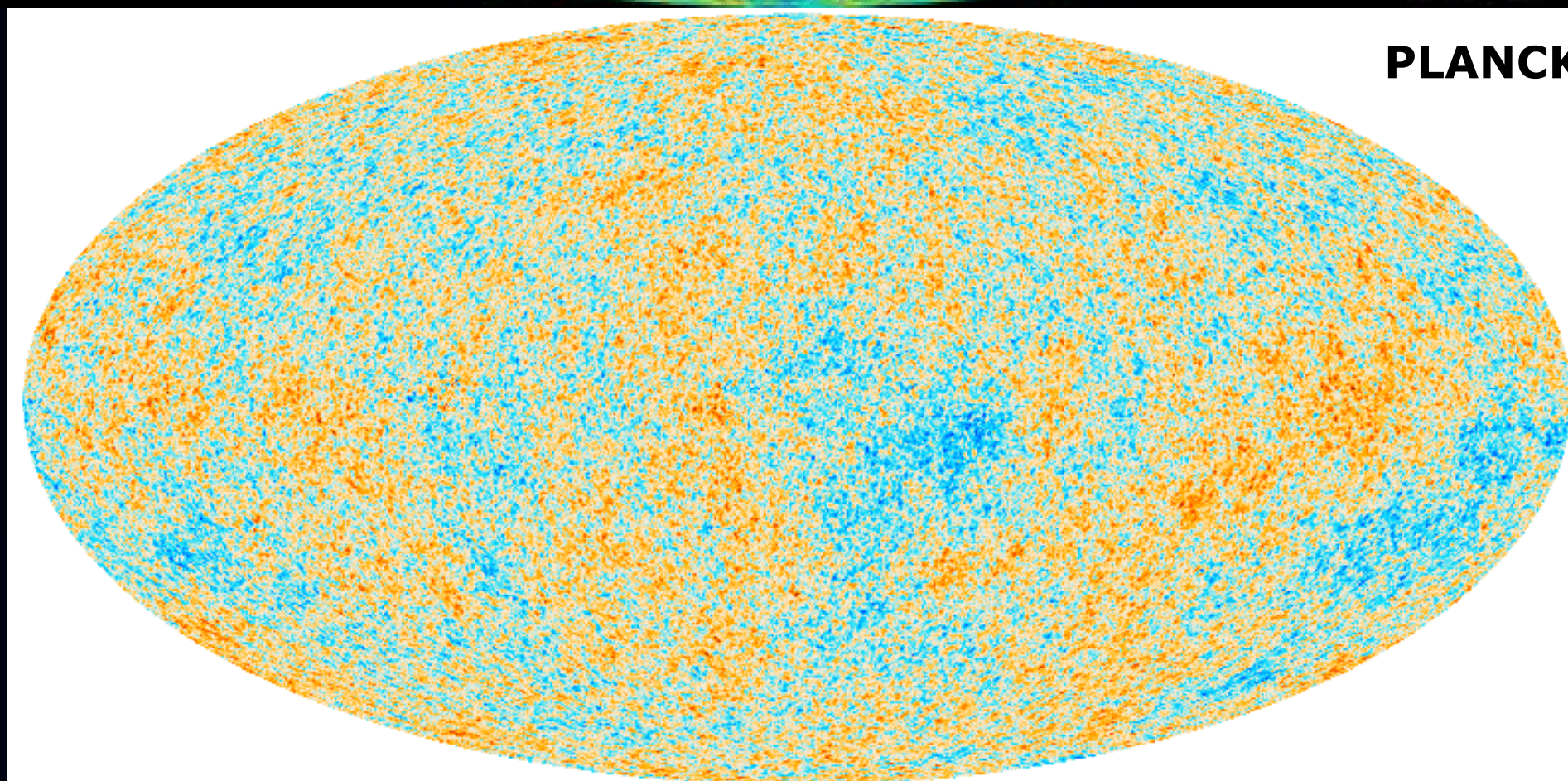
# PLANCK @ 2013







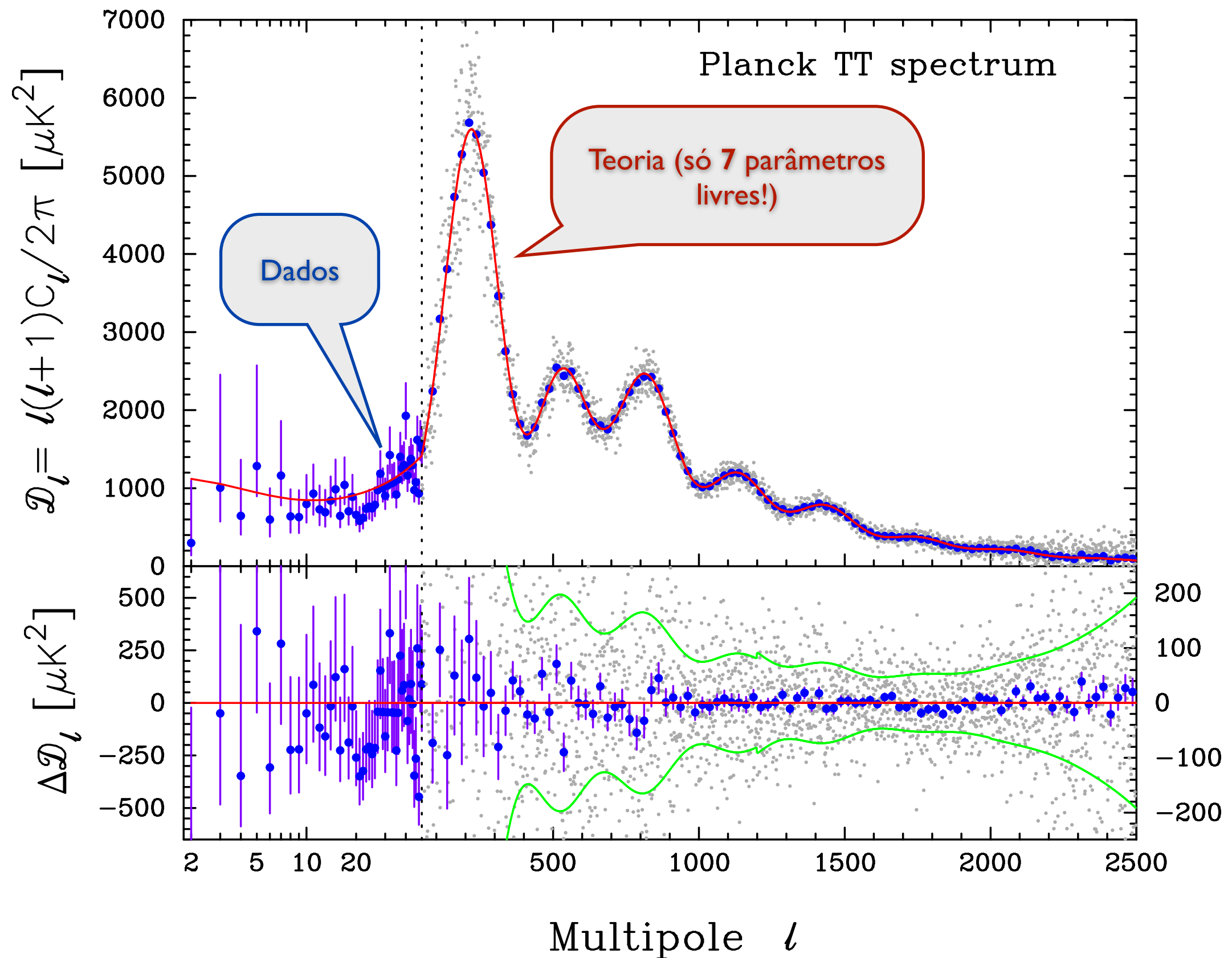
WMAP



PLANCK

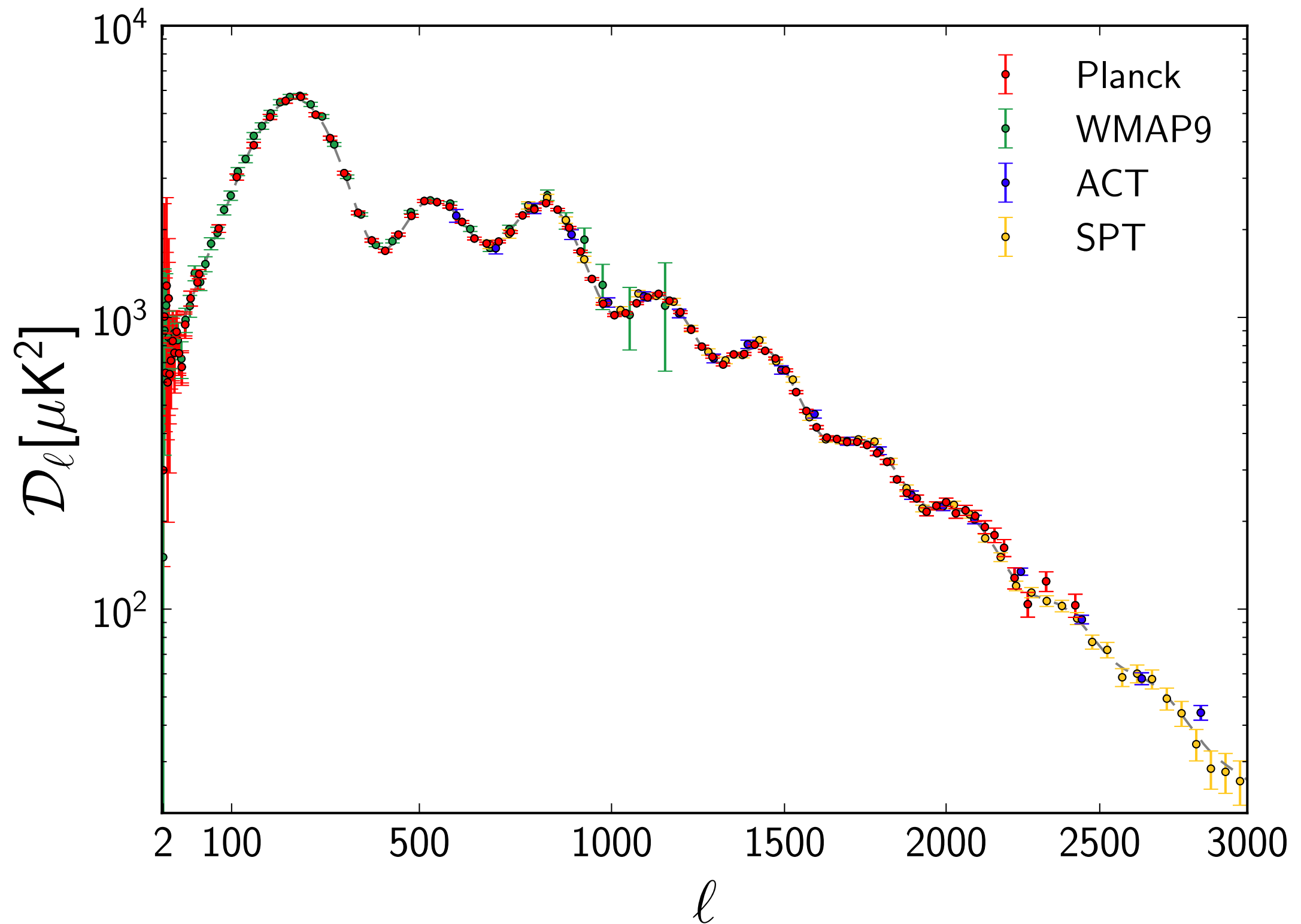
-500 500  $\mu\text{K}_{\text{CMB}}$

# Teoria v. dados (temperatura)





# Estado-da-arte em 2014



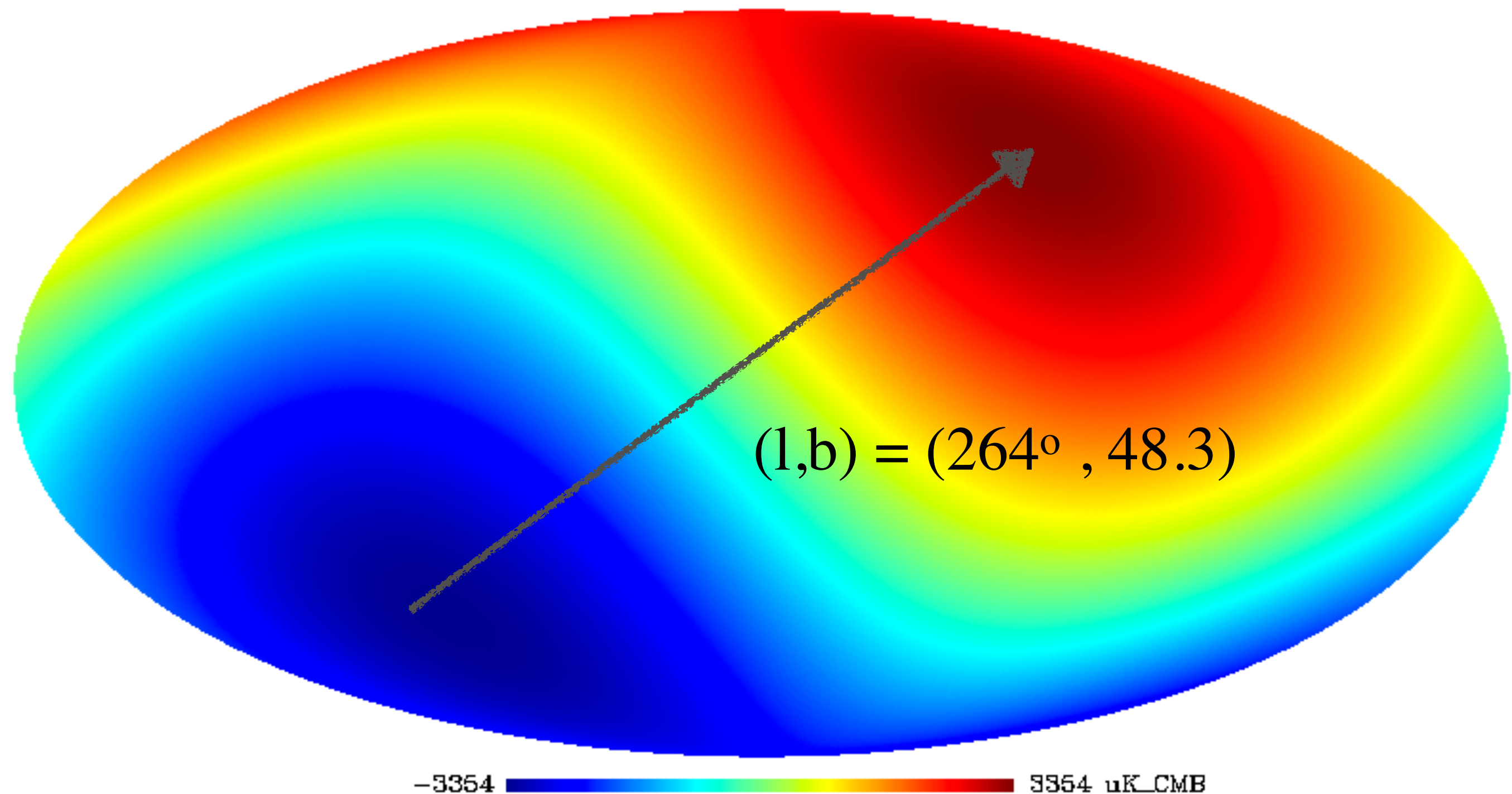
# Radiação cósmica de fundo:

## “Cosmologia de precisão”

Parameter	<i>Planck</i> (CMB+lensing)		<i>Planck</i> +WP+highL+BAO	
	Best fit	68 % limits	Best fit	68 % limits
$\Omega_b h^2$ . . . . .	0.022242	$0.02217 \pm 0.00033$	0.022161	$0.02214 \pm 0.00024$
$\Omega_c h^2$ . . . . .	0.11805	$0.1186 \pm 0.0031$	0.11889	$0.1187 \pm 0.0017$
$100\theta_{\text{MC}}$ . . . . .	1.04150	$1.04141 \pm 0.00067$	1.04148	$1.04147 \pm 0.00056$
$\tau$ . . . . .	0.0949	$0.089 \pm 0.032$	0.0952	$0.092 \pm 0.013$
$n_s$ . . . . .	0.9675	$0.9635 \pm 0.0094$	0.9611	$0.9608 \pm 0.0054$
$\ln(10^{10} A_s)$ . . . . .	3.098	$3.085 \pm 0.057$	3.0973	$3.091 \pm 0.025$
$\Omega_\Lambda$ . . . . .	0.6964	$0.693 \pm 0.019$	0.6914	$0.692 \pm 0.010$
$\sigma_8$ . . . . .	0.8285	$0.823 \pm 0.018$	0.8288	$0.826 \pm 0.012$
$z_{\text{re}}$ . . . . .	11.45	$10.8^{+3.1}_{-2.5}$	11.52	$11.3 \pm 1.1$
$H_0$ . . . . .	68.14	$67.9 \pm 1.5$	67.77	$67.80 \pm 0.77$
Age/Gyr . . . . .	13.784	$13.796 \pm 0.058$	13.7965	$13.798 \pm 0.037$
$100\theta_*$ . . . . .	1.04164	$1.04156 \pm 0.00066$	1.04163	$1.04162 \pm 0.00056$
$r_{\text{drag}}$ . . . . .	147.74	$147.70 \pm 0.63$	147.611	$147.68 \pm 0.45$
$r_{\text{drag}}/D_V(0.57)$ . . . . .	0.07207	$0.0719 \pm 0.0011$		



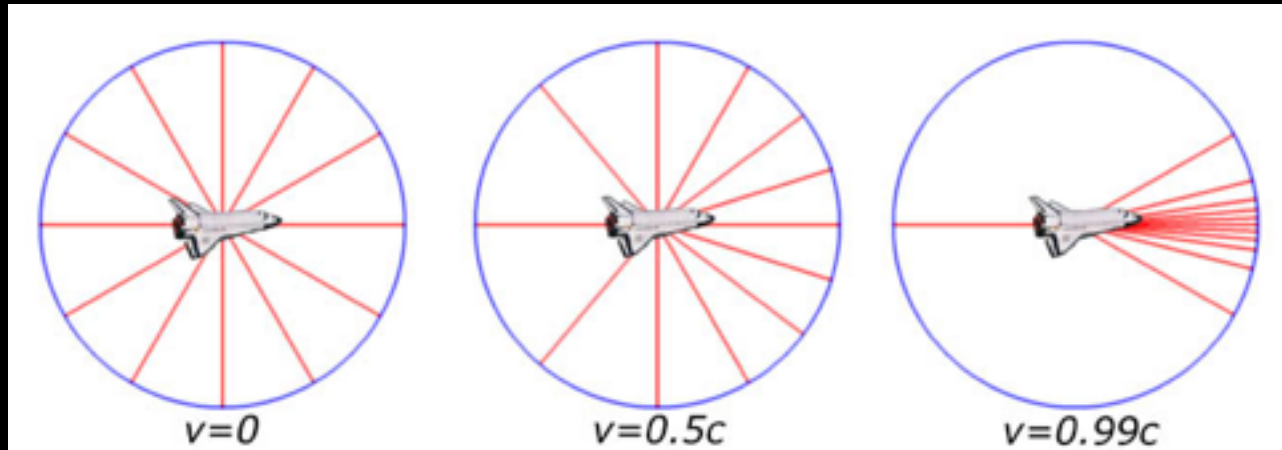
## 1. Dipolo da RCF:





# Introdução à Cosmologia Física

## Efeito Doppler e Aberração:



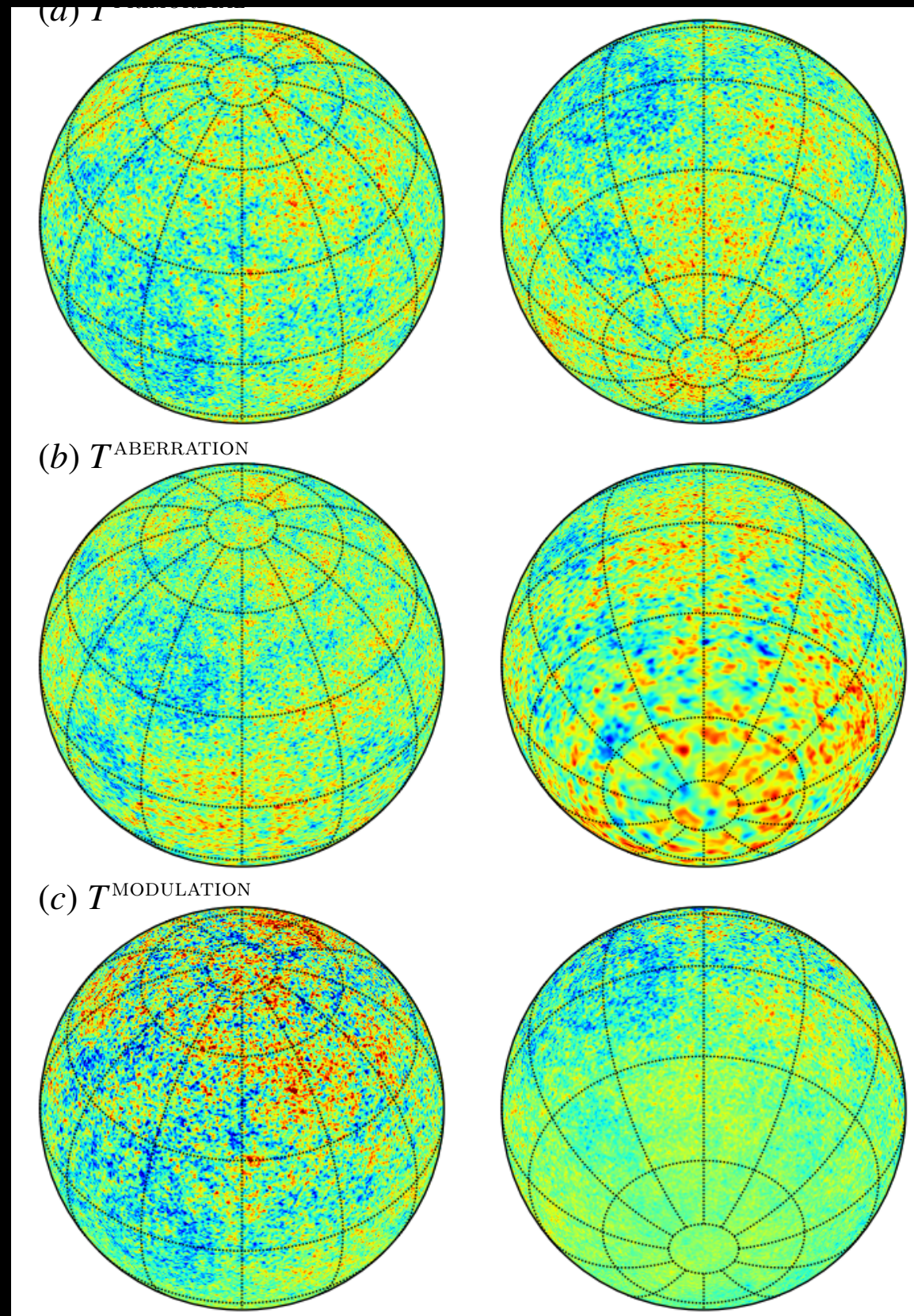
$$T_{Obs}(\hat{n}) = \frac{T_R(\hat{n}_R)}{\gamma(1 - \hat{n} \cdot \vec{\beta})}$$

$$\hat{n} = \frac{\hat{n}_R + [(\gamma - 1)\hat{n}_R \cdot \vec{\beta} + \gamma \beta]\vec{\beta}}{\gamma(1 + \hat{n}_R \cdot \vec{\beta})}$$

## Expandindo:

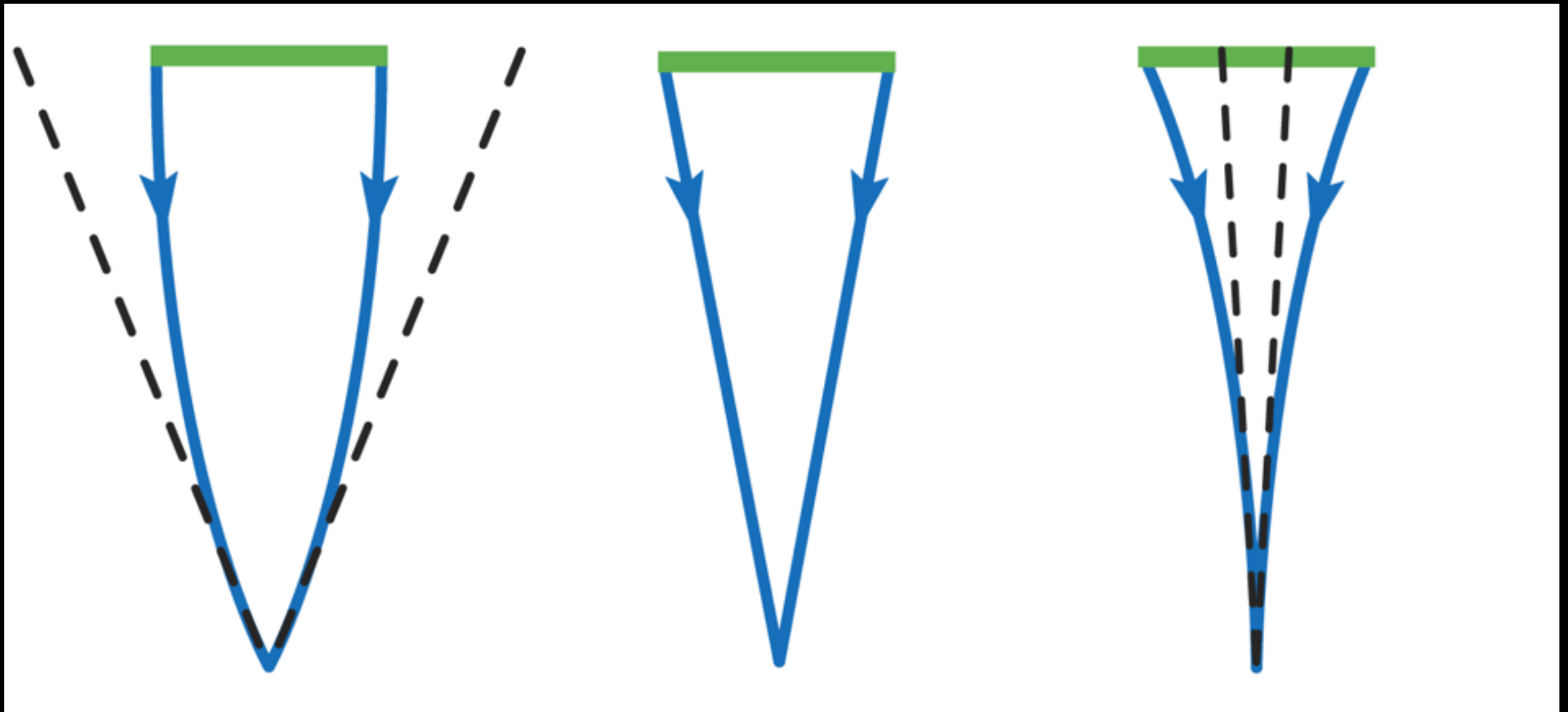
$$T_R(\hat{n}_R) \simeq T_R[\hat{n} - \vec{\nabla}(\hat{n} \cdot \vec{\beta})]$$

$$\Delta T_\beta(\hat{n}) \simeq T_0 \hat{n} \cdot \vec{\beta} + \Delta T_{RCF}[\hat{n} - \vec{\nabla}(\hat{n} \cdot \vec{\beta})] (1 + \hat{n} \cdot \vec{\beta})$$





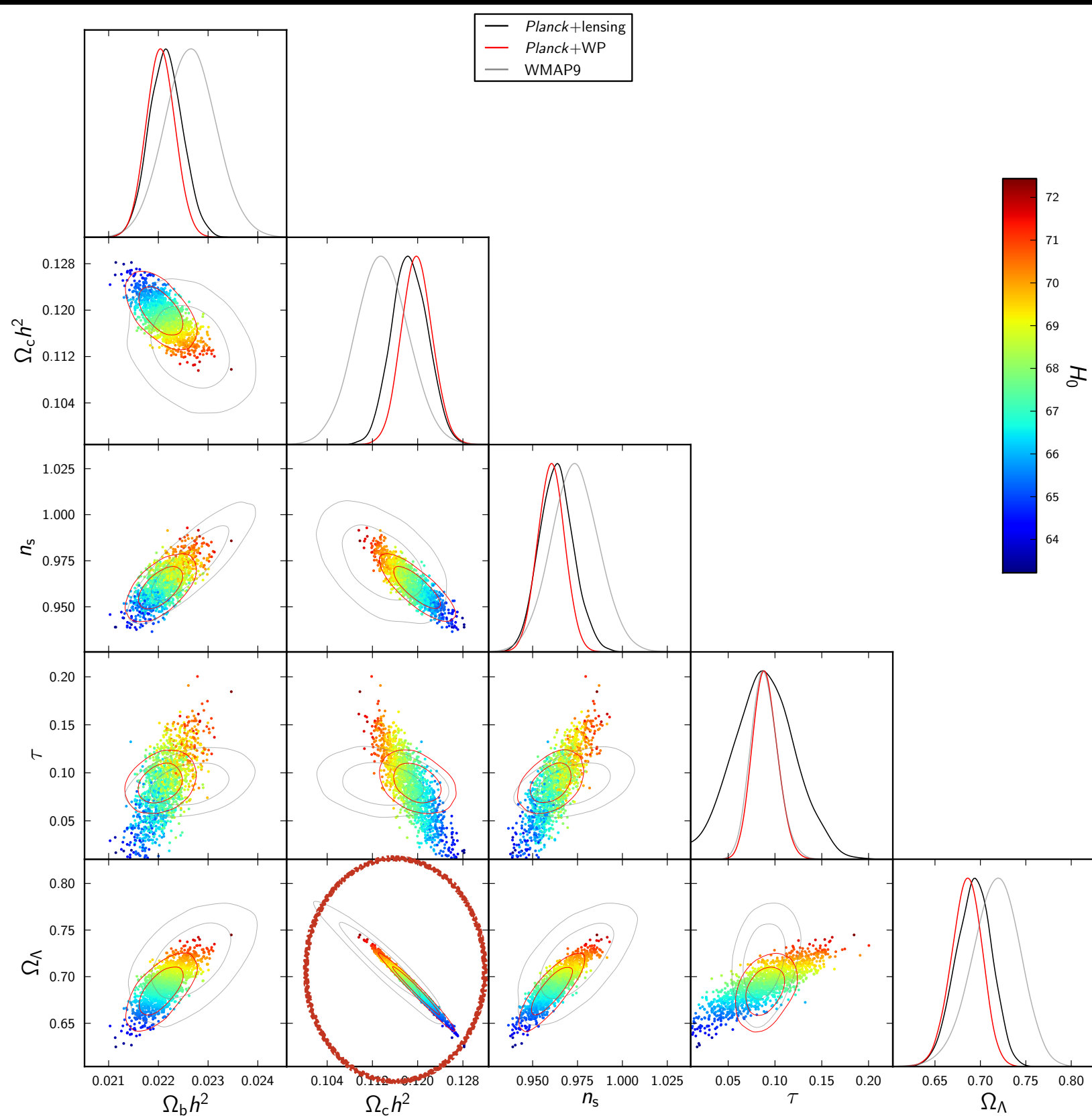
## 2. O horizonte sonoro ( $r_s$ ) e a curvatura espacial



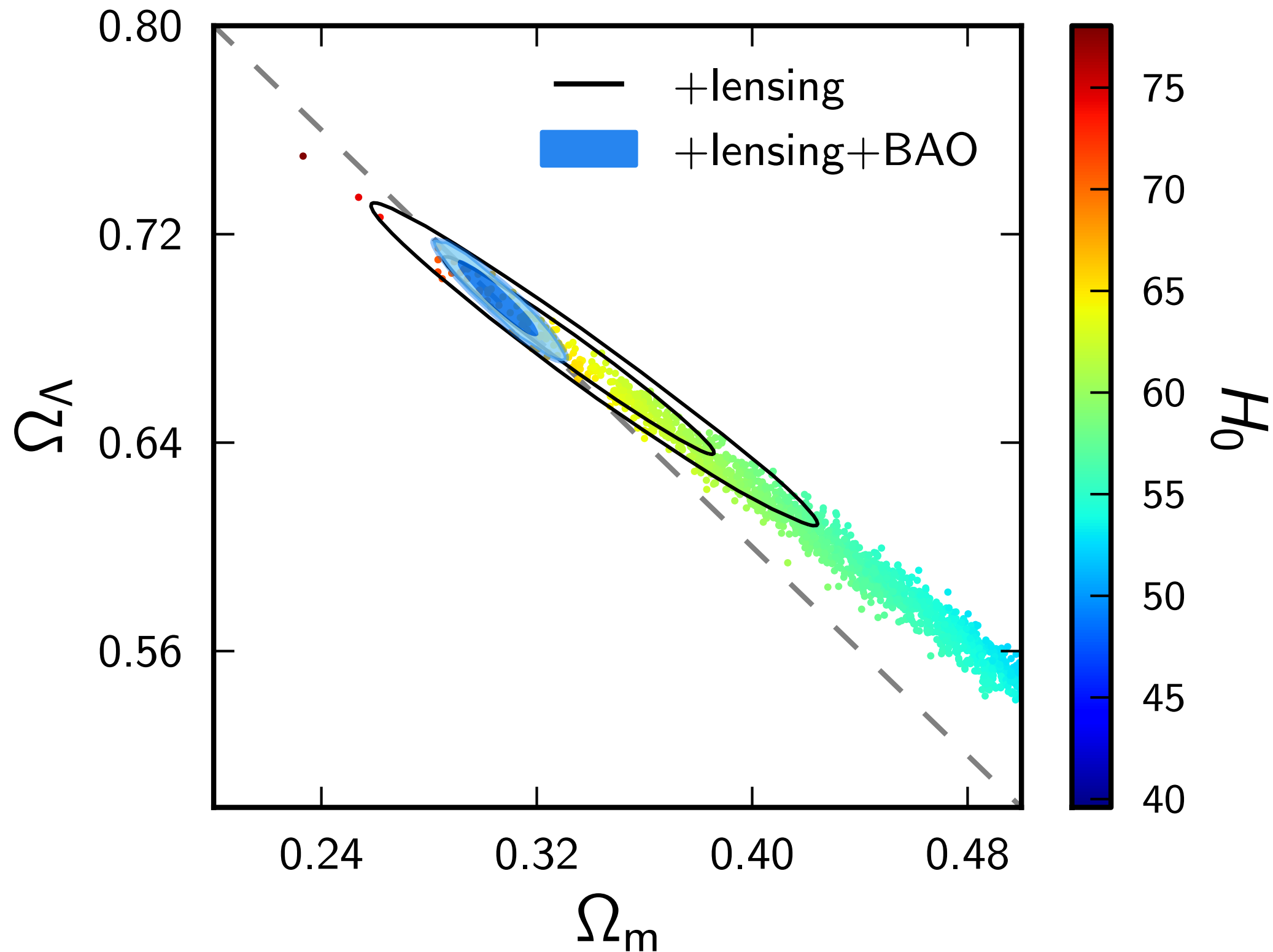


# Introdução à Cosmologia Física

## Resultados do Satélite Planck (2013):



Curvatura espacial muito bem limitada pela RCF...



# Introdução à Cosmologia Física

Mas a RCF, sozinha, não dá conta do recado:

